

PAPER DETAILS

TITLE: Al-13.6Cu-6Si alasiminin elektriksel ve ısıl özelliklerinin incelenmesi

AUTHORS: Erkan Üstün,M İzzettin Yilmazer,Emin Çadırlı

PAGES: 94-98

ORIGINAL PDF URL: <https://dergipark.org.tr/tr/download/article-file/3247924>

**Al-13.6Cu-6Si合金的电气和热性能研究****Investigation of the electrical and thermal properties of Al-13.6Cu-6Si alloy****Erkan Üstün^{1,*} , Mehmet İzzettin Yılmazer² , Emin Çadırılı³** ¹ Niğde Ömer Halisdemir Üniversitesi, Fen Bilimleri Enstitüsü, Fizik Bölümü, 51240, Niğde Türkiye² Erciyes Üniversitesi, Mühendislik Fakültesi, Matematik ve Fen Bilimleri Eğitimi Bölümü, 38280, Kayseri Türkiye³ Niğde Ömer Halisdemir Üniversitesi, Fen-Edebiyat Fakültesi, Fizik Bölümü, 51240, Niğde Türkiye**Öz**

Doğrusal olarak katılaştırılan Al-13.6Cu-6Si合金的电气和热性能研究。本研究旨在调查方向性凝固的Al-13.6Cu-6Si合金的电气性能如何随凝固速率和温度而变化，以及相同合金的热性能如何随温度而变化。在本研究中，首先使用四点法测量了合金的电阻率(ρ)并计算了电阻率系数(α)。然后根据Wiedemann-Franz和Smith-Palmer方程确定了热导率(K)与温度(T)之间的关系。此外，除了熔化焓(ΔH)和比热(c_p)值外，还从通过DSC分析绘制的热流-温度曲线中确定了合金的熔点(T_E)。研究结果表明，合金的电气和热性能随凝固速率和温度而变化。

Anahtar kelimeler: Elektriksel iletkenlik, Isıl iletkenlik, Erime entalpisi, Özısı

1 Giriş

现代金属/合金生产及加工技术中使用的铝基合金，如铝合金和铝镁合金，具有良好的耐腐蚀性、强度、韧性和可塑性。然而，这些合金在某些应用中可能表现出较差的导电性和导热性。因此，研究者们一直在努力改善这些合金的电气和热性能。通过添加适当的元素（如铜、硅等）可以显著提高合金的导电性和导热性。例如，Al-Cu-Si合金在许多工业应用中得到了广泛的应用，因为它们具有良好的综合性能。

首先，我们选择了Al-13.6Cu-6Si合金，因为它具有良好的导电性和导热性，并且在许多工业应用中得到了广泛的应用。该合金由Al、Cu和Si组成，具有良好的综合性能。

Abstract

It has been investigated how the electrical properties of the directionally solidified Al-13.6Cu-6Si alloy change depending on both the solidification rate and temperature, and how the thermal properties of the same alloy behave according to the temperature. Within the scope of this study, first of all, the electrical resistivity (ρ) measurements of the alloy were made with the four-point method and the temperature coefficient of the resistivity (α) was calculated. The relationship between thermal conductivity (K) and temperature (T) was determined with the experimental findings obtained using the Wiedemann-Franz and Smith-Palmer equations. In addition to enthalpy of fusion (ΔH) and specific heat (c_p) values, the melting temperature (T_E) of the alloy was determined from the heat flow-temperature curve drawn by performing DSC analysis in the temperature range of 320-953 K.

Keywords: Electrical conductivity, Thermal conductivity, Enthalpy of fusion, Specific heat

tipi firinda doğrusal olarak tek yönlü katılaştırılan Al-Cu-Si öteki合金的电气和热性能研究。本研究旨在调查方向性凝固的Al-13.6Cu-6Si合金的电气性能如何随凝固速率和温度而变化，以及相同合金的热性能如何随温度而变化。在本研究中，首先使用四点法测量了合金的电阻率(ρ)并计算了电阻率系数(α)。然后根据Wiedemann-Franz和Smith-Palmer方程确定了热导率(K)与温度(T)之间的关系。此外，除了熔化焓(ΔH)和比热(c_p)值外，还从通过DSC分析绘制的热流-温度曲线中确定了合金的熔点(T_E)。研究结果表明，合金的电气和热性能随凝固速率和温度而变化。

2 Deneyel yöntem**2.1 Numune hazırlama ve katılaştırma**

Al-13.6Cu-6Si合金的电气和热性能研究。本研究旨在调查方向性凝固的Al-13.6Cu-6Si合金的电气性能如何随凝固速率和温度而变化，以及相同合金的热性能如何随温度而变化。在本研究中，首先使用四点法测量了合金的电阻率(ρ)并计算了电阻率系数(α)。然后根据Wiedemann-Franz和Smith-Palmer方程确定了热导率(K)与温度(T)之间的关系。此外，除了熔化焓(ΔH)和比热(c_p)值外，还从通过DSC分析绘制的热流-温度曲线中确定了合金的熔点(T_E)。研究结果表明，合金的电气和热性能随凝固速率和温度而变化。

* Sorumlu yazar / Corresponding author, e-posta / e-mail: erkanustun_07@hotmail.com (E. Üstün)
Geliş / Received: 06.07.2023 Kabul / Accepted: 26.10.2023 Yayımlanma / Published: 15.01.2024
doi: 10.28948/ngmuh.1323640

formda doğrusal olarak tek yönlü katkılaştırılarak üretim işlemi tamamlanmıştır. Üretilen bu numunelerin doğrusal katkılaştırma işlemleri Bridgman tipi bir fırında (**Şekil 1**), sabit bir G'de (4.64 K/mm) farklı V (8.3-166 $\mu\text{m/s}$) değerlerinde gerçekleştirılmıştır. Alaşım numunelerinin üretilmesi ve doğrusal katkılaştırma işlemleri ile ilgili detaylı bilgiler başka bir çalışmada [3] verilmiştir.

2.2 Elektriksel özdirenç değerlerinin ölçülmesi

2.2.1 Katkılaştırma hızına bağlı olarak özdirenç ölçümü

Şekil 1'de görülen deney sisteminde kontrollü olarak sabit sıcaklık gradyentinde (G) ve faktörlük katkılaştırma hızlarında (V) tek yönlü doğrusal katkılaştırma işlemleri tamamlanan 4 mm çapında 200 mm uzunluğundaki numunelerden, dendritik yapıyı içerecek şekilde yarı silindir kesitli 10 mm uzunluğunda yüzey kusuru ve döküm boşluğu içermeyecek şekilde özdirenç ölçümü için numuneler hazırlanmıştır. Hazırlanan numunelerin elektriksel özdirenç değerleri (ρ) dört nokta prob (four-point probe) yöntemi kullanılarak oda sıcaklığında ölçülmüştür. Bu yöntem numune üzerine 4 adet platin telini (0.5 mm çapında) bağlanarak verilen akıma karşı ortaya çıkan voltaj değerinin ölçülerek elektriksel özdirenç değerinin belirlenmesi esasına dayanır. Elektriksel özdirenç değeri (ρ);

$$\rho = 2\pi s \left(\frac{U}{I} \right) \quad (1)$$

ifadesiyle verilir. Burada $2\pi s$, numunenin geometrisine bağlı olan bir düzeltme faktörünü, s , problemlerin numune üzerindeki temas noktaları arasındaki mesafeyi (~2mm), U ,

iç problemler arasındaki potansiyel farkını ve I , dış problemlerden geçen akımı ifade etmektedir. Bu yöntemin kullanım şekli ve ölçümü ile ilgili daha ayrıntılı bilgiler kaynak [4]'de verilmiştir.

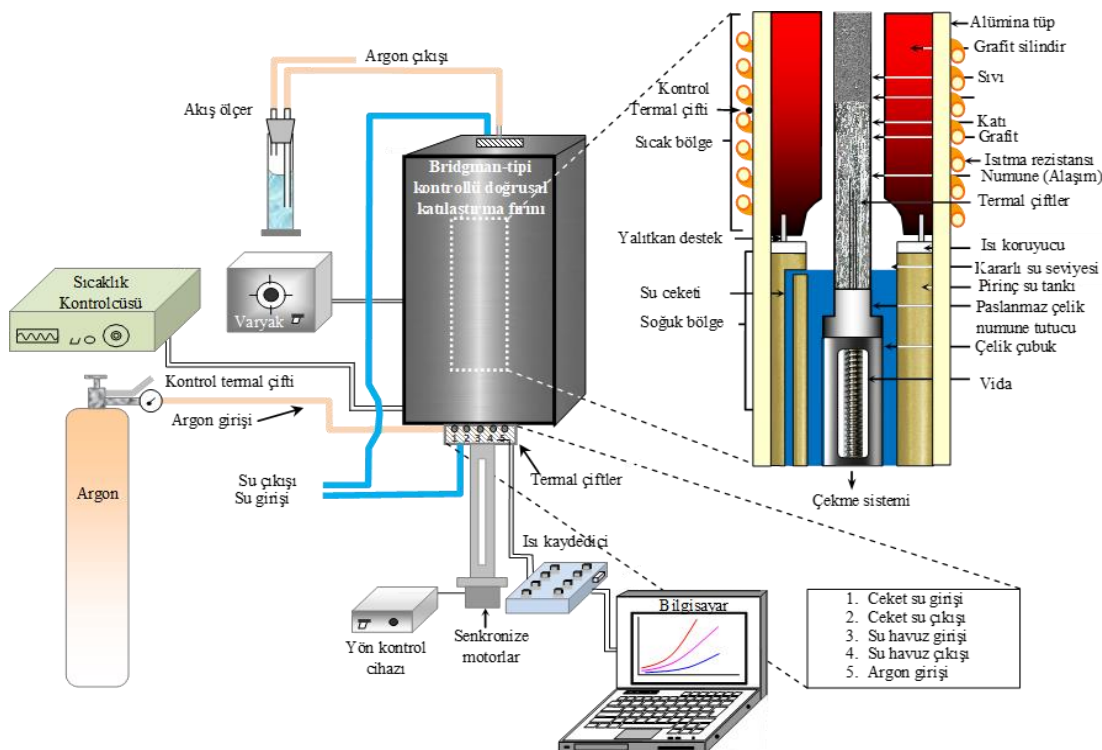
Her bir katkılaştırma hızında katkılaştırılan numunelerin elektriksel özdirenç değerinin hassas bir şekilde belirlenmesi için aynı numune üzerinden yaklaşık 50 ölçüm yapılarak ortalama değer alınmış ve bu sayede sonucun güvenilirliği artırılmıştır.

2.2.2 Sıcaklığa bağlı olarak özdirenç ölçümü

Seçilen bir döküm numunesinin elektriksel özdirencinin sıcaklıkla değişimi oda sıcaklığı ile 791 K aralığında ölçülmüştür. Numunenin oda sıcaklığından 791 K değerine kadar ısıtılması ve sıcaklık kontrolü Nabertherm P320 kül fırını kullanılarak gerçekleştirilmiştir. Ölçüm yapılacak numune yine katkılaştırma hızına bağlı özdirenç ölçümündeki gibi yarı silindir kesitli 10 mm uzunluklu parlatılmış yüzey kusuru ve döküm boşluğu içermeyecek şekilde hazırlanmıştır. Numune boyutları, 10 μm 'lik bir hassasiyete sahip bir dijital mikrometre kullanılarak ölçülmüştür. Elektriksel özdirenç sıcaklığa oldukça bağlıdır. Metallerde, elektrik özdirenç artan sıcaklıkla artar. Özdirencin sıcaklık katsayısı genellikle elektrik özdirencinin sıcaklık grafiğine karşı eğimi olarak ifade edilir ve şu şekilde verilebilir;

$$\alpha = \frac{\rho - \rho_0}{\rho_0(T - T_0)} = \frac{1}{\rho_0 \Delta T} \frac{\Delta \rho}{\Delta T} \quad (2)$$

burada ρ , T sıcaklığındaki özdirenci, ρ_0 , oda sıcaklığındaki T_0 (300 K) özdirenci ifade etmektedir.



Şekil 1. Bridgeman-tipi doğrusal katkılaştırma deney sistemi

2.3 Isıl iletkenlik değerlerinin tespiti

Bir malzemenin isıl iletkenliği (K), malzemenin ısı iletme kabiliyetiyle ifade edilir. Malzemenin yapısına ve sıcaklığına bağlı olarak malzemenin K değeri belirlenir. Isıl iletkenlik ile elektriksel iletkenlik arasındaki ilişki, hem ısı hem de elektriksel iletimin metal içerisindeki serbest elektronlar tarafından sağlandığı gerçekine dayanan Wiedemann-Franz denklemiyle [1] ve Smith-Palmer denklemiyle [2] açıklanmıştır. Smith-Palmer denklemi (Denklem 4) Wiedemann-Franz denkleminin (Denklem 3) modifiye edilmiş halidir.

$$\frac{K}{\sigma} = LT \quad (3)$$

$$K = 0.909L\sigma T + 10.5 \quad (4)$$

burada K , isıl iletkenlik, σ , elektriksel iletkenlik ve L , Lorenz sayısıdır. Lorenz sayısının teorik değeri 2.45×10^{-8} $\text{W}\Omega/\text{K}^2$ 'dir. Ancak Lorenz sayısının tüm malzemeler için aynı değerde olmadığı ve sıcaklığa bağlı değişim oranının çok az olduğu belirtilmiştir [5]. Isıl iletkenliğin sıcaklığa bağlı değişimi σ ve L değerleri kullanılarak belirlenmiştir.

2.4 Erime noktası, erime entalpisi ve özü niceliklerinin tayini

Alaşım numunesine ait erime noktası (T_E), erime entalpisi (ΔH) ve özü (c_p) değerleri diferansiyel taramalı kalorimetre (DSC) cihazı (Netzsch STA 449 C Jupiter balance) yardımıyla ölçülmüştür. DSC eğrileri kullanılarak aşağıdaki denklemenin kullanılmasıyla numunelerin T_E , ΔH ve c_p değerleri tespit edilmiştir.

$$mc_p \frac{dT}{dt} = \frac{dQ}{dt} \quad (5)$$

Burada, dT/dt , ısıtma hızı (K/s), dQ/dt , ısı akış hızı, (J/s veya watt), m , kullanılan numunenin kütlesi ve $\text{Area}=\text{üçgenin alanı} = 0.5 \text{ taban} \times \text{yükseklik} = 0.5 \text{ zaman} \times \text{güç}$ (numunenin erimesi için gerekli enerji) ile verilir. Bu ölçüm ve hesaplamalardaki hata payı yaklaşık olarak %5 olarak belirlenmiştir.

3 Bulgular ve tartışma

3.1 Katılıştırma hızının ve sıcaklığın elektriksel özdirenç üzerindeki etkisi

Sabit G 'de farklı V 'de numunelerin elektriksel özdirenç değerleri dört nokta prob yöntemiyle Tablo 1'deki gibi katılıştırma parametrelerine bağlı olarak elektriksel özdirenç değerleri belirlenmiştir.

Şekil 2'de, elektriksel özdirenç değerlerinin artan katılıştırma hızlarına bağlı olarak değişimini gösterilmektedir. Elektriksel özdirençin (ρ) katılıştırma hızına (V) bağımlılığı;

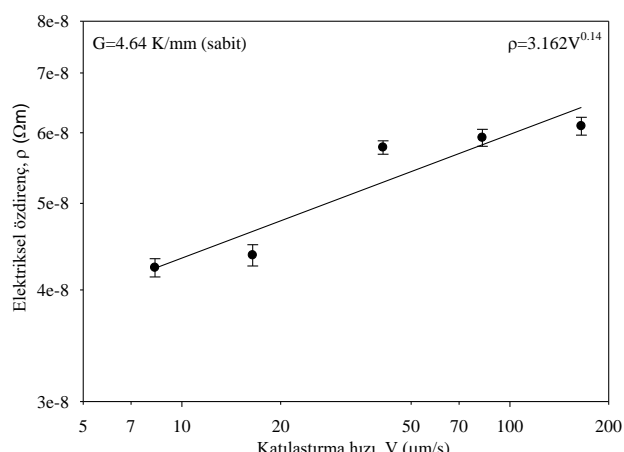
$$\rho = \text{kV}^a \quad (6)$$

denklemi ile ifade edilmektedir. Burada k , bir sabittir, a , katılıştırma hızına ilişkin üstel değerdir. **Şekil 2 ve Tablo 1**'de görüldüğü gibi, lineer regresyon analizi kullanılarak ρ ve V arasındaki ilişki $\rho = 3.162V^{0.14}$ olarak bulunmuştur. Sabit sıcaklık gradyentinde ($G=4.64 \text{ K/mm}$) artan katılıştırma hızı ($8.3-166 \mu\text{m/s}$) ile elektriksel özdirenç değerlerinin 4.24×10^{-8} 'den $6.10 \times 10^{-8} \Omega\text{m}'ye$ arttığı görülmüştür. Standart sapma değerinin yaklaşık %5 olduğu belirlenmiştir.

Tablo 1. Al-Cu-Si合金 için sabit G 'de farklı V 'de elektriksel özdirenç değerleri

Katılıştırma Parametreleri		Elektriksel Özdirenç Değerleri
G (K/mm)	V ($\mu\text{m/s}$)	$\rho \times 10^{-8}$ (Ωm)
4.64	8.3	4.24
	17.4	4.38
	41.5	5.78
	83.0	5.92
	166.0	6.10

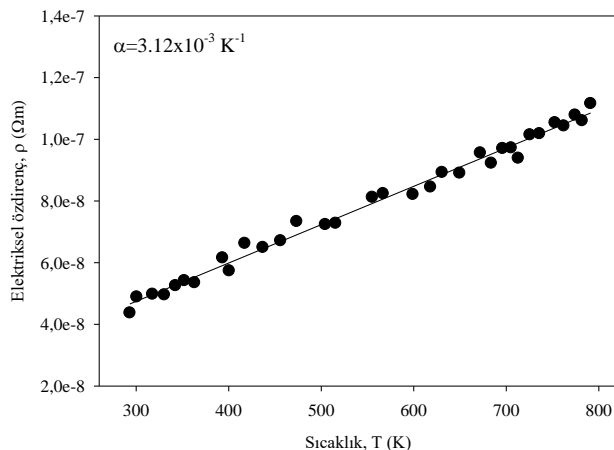
ρ için bu çalışmada bulunan V 'nin üstel değeri (0.14), Kaya vd. [6] tarafından (Al-7Ni合金 için), Büyük [7] tarafından (Al-11.1Si-4.2Ni合金 için) ve Kaya vd. [8] tarafından (Al-1.94Mn-5Si合金 için) elde edilen sırasıyla 0.08, 0.09 ve 0.08 üstel değerlerinden biraz büyük çıkmıştır. Bu farklılıklar,合金 elementlerindeki farklılıklardan ve farklı koşullar altında numune hazırlamadan kaynaklandığı düşünülmektedir.



Şekil 2. Al-Cu-Si合金 için elektriksel özdirenç değerlerinin katılıştırma hızı ile değişimi.

Şekil 3'de ise, elektriksel özdirenç değerlerinin sıcaklıkla değişimi verilmiştir. Artan sıcaklık değerleri (300–791 K) ile elektriksel özdirenç değerlerinin 4.37×10^{-8} 'den $1.12 \times 10^{-7} \Omega\text{m}'ye$ arttığı görülmüştür. Buradan da görüleceği üzere elektriksel özdirenç değeri üzerinde, sıcaklığın etkisi katılıştırma hızına göre çok daha fazladır. Ayrıca; 1 K'luk sıcaklık artışında 1Ω 'luk iletken direncinde oluşan artma miktarı olarak tanımlanan elektriksel özdirençin sıcaklık değişim katsayısı (α), elektriksel özdireç-sıcaklık ($\rho-T$)

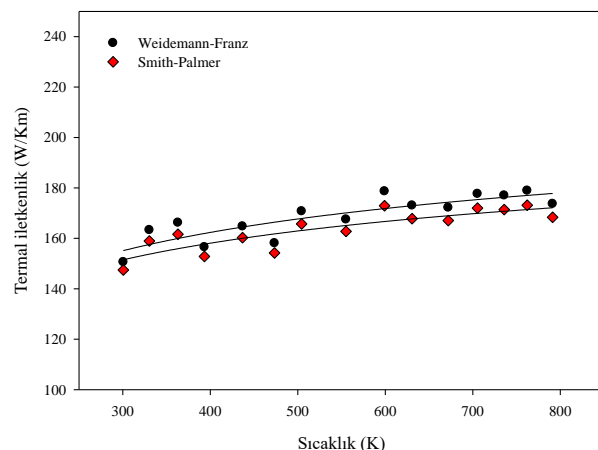
grafisinden ve Denklem 2'den yararlanılarak $3.12 \times 10^{-3} \text{ K}^{-1}$ olarak hesaplanmıştır. Bizim bulduğumuz bu α değerini, benzer koşullar altında Böyük ve ark. [9] (Zn-1.5Cu alaşımı için) $4.95 \times 10^{-3} \text{ K}^{-1}$ olarak bulmuşlardır.



Şekil 3. Al-Cu-Si alaşımı için elektriksel özdirenç değerlerinin sıcaklık ile değişimi

3.2 Sıcaklığın termal iletkenlik üzerindeki etkisi

Al-Cu-Si alaşımının ısıl iletkenliğinin (K) sıcaklıkla (T) değişimi, elektriksel iletkenlik (σ) ve Lorenz (L) değerleri kullanılarak Wiedemann-Franz [1] ve Smith-Palmer [2] denklemleriyle belirlenmiştir. 300–791 K sıcaklık aralığında belirlenen bu ısıl iletkenlik değerleri ayrı ayrı her iki denklem kullanılarak hesaplanmış ve **Tablo 2**'de verilmiştir. **Şekil 4**'de ise ısıl iletkenliğin sıcaklığa bağlı değişimi gösterilmiştir.



Şekil 4. Al-Cu-Si alaşımı için termal iletkenlik değerlerinin sıcaklık ile değişimi

Aynı sıcaklık aralığında Wiedemann-Franz denklemi kullanılarak elde edilen ısıl iletkenlik değerleri ($150.63\text{--}173.67 \text{ W/Km}$), Smith-Palmer denklemi kullanılarak elde edilen ısıl iletkenlik değerlerinden ($147.42\text{--}168.37 \text{ W/Km}$) az da olsa büyük çıkmıştır. Ayrıca Weidemann-Franz ve Smith-Palmer denklemi kullanılarak belirlenen ısıl iletkenlik değerleri sıcaklık değişimlerine bağlı olarak az da

olsa bir artış eğiliminde olduğu **Şekil 4**'de verilen değişim grafisinde gösterilmektedir.

Bu farklılıklar,合金 elementlerindeki farklılıklardan ve farklı koşullar altında numune hazırlamadan olabileceği gibi elektron-elektron etkileşiminden kaynaklanıyor olabilir.

Tablo 2. Al-13.6Cu-6Si alaşımı için elde edilen termal iletkenlik değerleri

T (K)	Deneyel Değerler		Termal iletkenlikler	
	ρ $\times 10^{-8}$ (Ωm)	σ $\times 10^{17}$ (Ωm^{-1})	Weidemann-Franz (W/Km)	Smith-Palmer (W/Km)
300.62	4.89	2.05	150.63	147.42
330.42	4.96	2.02	163.30	158.94
363.10	5.35	1.87	166.25	161.62
393.37	6.16	1.62	156.55	152.80
436.91	6.50	1.54	164.75	160.26
473.43	7.34	1.36	158.09	154.21
504.42	7.24	1.38	170.76	165.72
555.15	8.12	1.23	167.49	162.75
599.12	8.21	1.22	178.69	172.93
630.62	8.93	1.12	173.03	167.79
671.93	9.56	1.05	172.19	167.02
705.29	9.72	1.03	177.68	172.01
735.83	10.18	0.98	177.02	171.41
762.11	10.44	0.96	178.93	173.15
791.17	11.16	0.90	173.67	168.37

3.3 Al-Cu-Si alaşımının DSC analizi

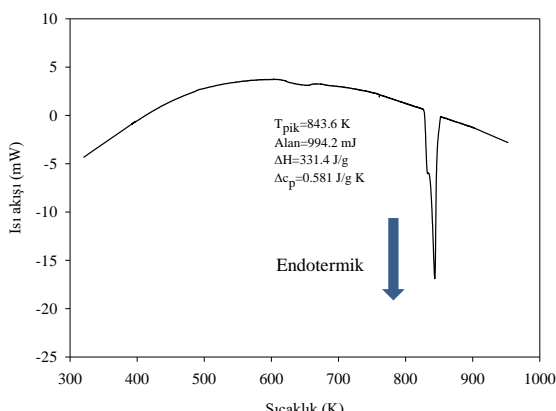
DSC deneylerinden elde edilen ve **Şekil 5**'te verilen sıcaklık-ısı akışı grafiği malzemeler hakkında önemli bilgiler sunmaktadır. Al-13.6Cu-6Si alaşımının termal özellikleri, DSC analizi ile 320–953 K sıcaklık aralığında 10 K/dak ısıtma hızı kullanılarak yapılmıştır. Birim kütenin erimesi için gerekli olan enerji değeri, Entalpi (ΔH),

$$\Delta H = \text{Alan (mJ)/kütle (mg)} \quad (7)$$

ifadesiyle hesaplanmıştır. Burada Alan (Area), oluşan pikin sınırladığı alandır ve kütle ise cihazın içine yerleştirilen numunenin mg cinsinden değeridir ($\sim 3 \text{ mg}$).

Şekil 5'deki DSC eğrisinin ilk bükümün oluşmasıyla erime süreci başlamış keskin pik noktasında ise tam erime gerçekleşmiştir. Al-13.6Cu-6Si alaşımının erime sıcaklığı (T_E) 843.6 K , erime entalpisi (ΔH) 331.4 J/g ve özüsi (c_p) 0.581 J/gK olarak tespit edilmiştir.

Benzer koşullarda Böyük [7] tarafından (Al-11.1Si-4.2Ni alaşımı için) $T_E=837.73 \text{ K}$, $\Delta H=411.03 \text{ J/g}$ ve $\Delta c_p=0.716 \text{ J/(gK)}$ değerleri, Kaya vd. [8] tarafından (Al-1.94Mn-0.5Si alaşımı için) $T_E=944.7 \text{ K}$, $\Delta H=185.5 \text{ J/g}$ ve $\Delta c_p=0.276 \text{ J/(gK)}$ değerleri, Böyük [9] tarafından (Zn-1.5Cu alaşımı için) $T_E=699.47 \text{ K}$, $\Delta H=156.94 \text{ J/g}$ ve $\Delta c_p=0.368 \text{ J/(gK)}$ değerleri elde edilmiştir.



Şekil 5. Al-Cu-Si alaşımına ait ısı akışı-sıcaklık eğrisi

4 Sonuçlar

Al-13.6Cu-6Si alaşımının elektriksel ve ısıl özellikleri incelenmiş ve sonuçlar aşağıda özetlenmiştir.

1. Sabit G'de ($4.64 \text{ K}/\mu\text{m}$) artan V'de ($8.3\text{-}166 \text{ }\mu\text{m/s}$) ρ değerleri 4.24×10^{-8} 'den $6.10 \times 10^{-8} \Omega\text{m}$ değerine kadar artmıştır.
2. Sıcaklığın 300 K'den 791 K'e artmasıyla ρ değerleri 4.37×10^{-8} 'den $1.12 \times 10^{-7} \Omega\text{m}$ değerine kadar artmıştır.
3. α değeri, $3.12 \times 10^{-3} \text{ K}^{-1}$ olarak tespit edilmiştir.
4. Sıcaklığın 300 K değerinden 791 K değerine artırılmasıyla, Wiedemann-Franz denklemi yardımıyla ısıl iletkenlik değerleri $150.63\text{-}173.67 \text{ W/Km}$ aralığında, Smith-Palmer denklemi yardımıyla ısıl iletkenlik değerleri $147.42\text{-}168.37 \text{ W/Km}$ aralığında bir artış göstermiştir.
5. Al-13.6Cu-6Si alaşımına ait elde edilen DSC eğrisinden alaşımın erime sıcaklığı (T_E) 843.6 K , ΔH değeri 331.4 J/g ve c_p değeri 0.581 J/gK olarak hesaplanmıştır.

Çıkar çatışması

Yazarlar çıkar çatışması olmadığını beyan etmektedir.

Benzerlik oranı (iTThenticate): %17

Kaynaklar

- [1] C. Kittel, Introduction to Solid State Physics, 6th. Ed., Wiley, New York , 1965.

- [2] D.R. Poirier and G. H. Geiger, Transport Phenomena in Materials Processing, The Minerals, Metals & Materials Society, Warrendale, PA, 1994.
- [3] E. Üstün and E. Çadırlı, Investigation of the microstructure and physical properties of directionally solidified ternary Al-8.8La-1.2Ni alloy. Journal of Alloys and Compounds, 855, 157731, 2021. <https://doi.org/10.1016/j.jallcom.2020.157331>.
- [4] E. Çadırlı, M. Sahin, R. Kayalı, M. Arı, S. Durmuş, Dependence of electrical and thermal conductivity on temperature in directionally solidified Sn-3.5 wt% Ag eutectic alloy. Journal of Materials Science: Materials in Electronics, 22, 1709-1714, 2011. <https://doi.org/10.1007/s10854-011-0350-9>.
- [5] G.S. Kumar, G. Prasad and R.O. Pohl, Experimental determinations of the Lorenz number, Journal of Materials Science, 28, 4261-4272, 1993. <https://doi.org/10.1007/BF01154931>.
- [6] H. Kaya, U. Büyük, Çadırlı, E. and N. Maraşlı, Influence of growth rate on microstructure, microhardness, and electrical resistivity of directionally solidified Al-7 wt% Ni hypo-eutectic alloy. Metals and Materials International, 19(1), 39-44, 2013. <https://doi.org/10.1007/s12540-013-1007-4>.
- [7] U. Büyük, Physical and mechanical properties of Al-Si-Ni eutectic alloy. Metals and Materials International, 18(6), 933-938, 2012. <https://doi.org/10.1007/s12540-012-6004-5>.
- [8] H. Kaya, E. Çadırlı and U. Büyük, Microstructure, microhardness, tensile, electrical, and thermal properties of the Al-Mn-xSi ternary alloys, Kavove Materialy Metallic Materials, 58(4), 275-285, 2020 https://doi.org/10.4149/km_2020_4_275.
- [9] U. Büyük, H. Kaya, E. Çadırlı, N. Maraşlı, A. Ülgen, Investigation of the effect of solidification processing parameters on microhardness and determination of thermo-physical properties in the Zn-Cu peritectic alloy, Journal of Alloys and Compounds, 491(1-2), 143-148, 2010. <https://doi.org/10.1016/j.jallcom.2009.10.184>.

